

**EUR 4964 f**

ANNEXE : 31 figures

MÉTABOLISME DE L'IODE  
CHEZ L'ENFANT ET L'ADOLESCENT  
DANS UNE RÉGION DE LA COMMUNAUTÉ

par

L. KARHAUSEN (EURATOM)  
J.P. PAGES, G. VACCA (C.E.A.)  
A. PIEPZ (Université Libre de Bruxelles)

et

M. DE VISSCHER (Université de Louvain)

LIBRARY



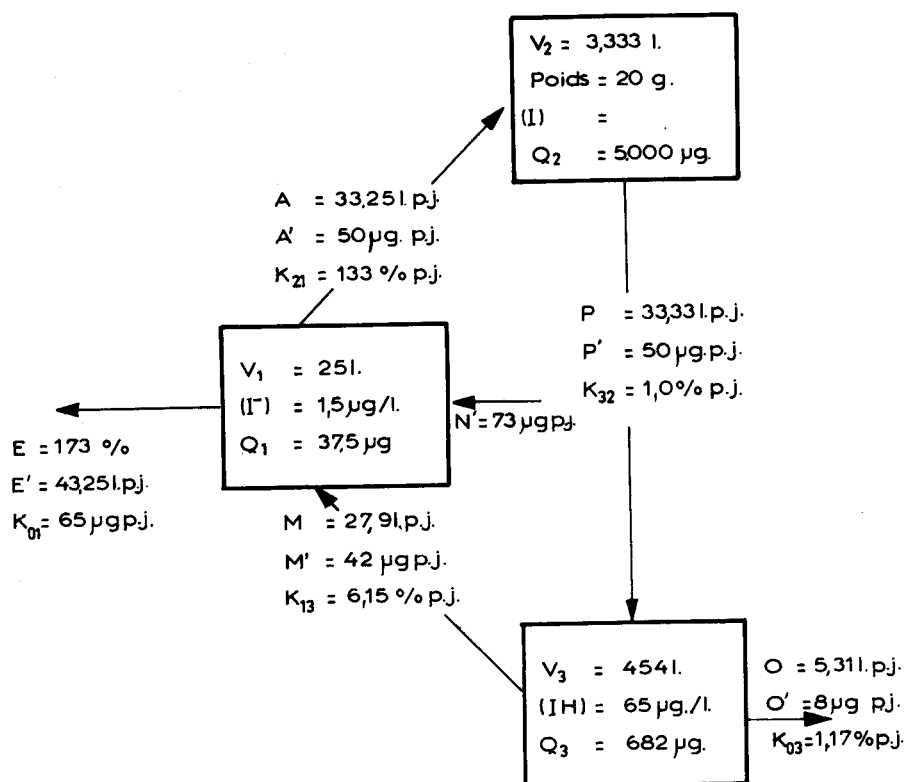


Figure 1. — Modèle de l'adulte.

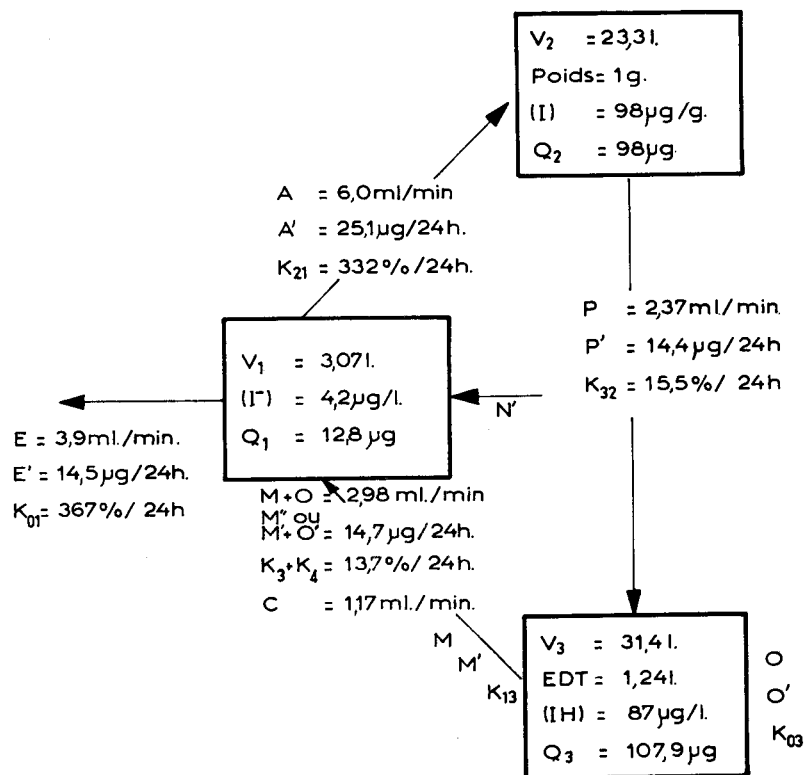


Figure 2. — Enfants de 0 à 6 mois.  
Schéma donnant les valeurs moyennes du cycle de l'iode.

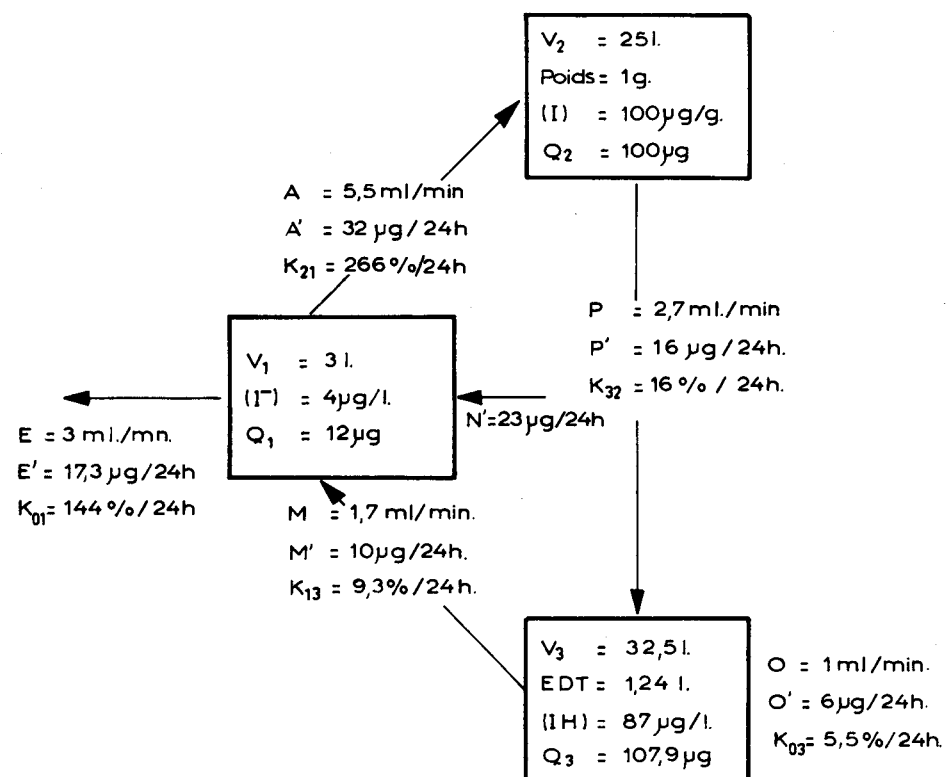


Figure 3. — Enfants de 0 à 6 mois.  
Schéma donnant une représentation vraisemblable du cycle de l'iode,  
construction à partir des données expérimentales.

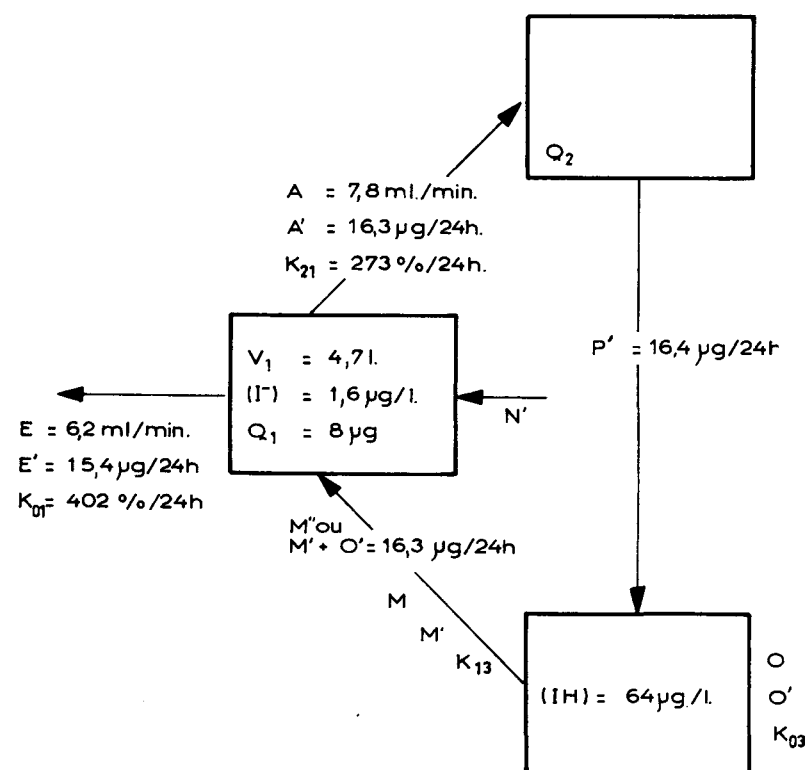


Figure 4. — Enfants de 6 mois à 1 an.  
Schéma donnant les valeurs moyennes du cycle de l'iode.

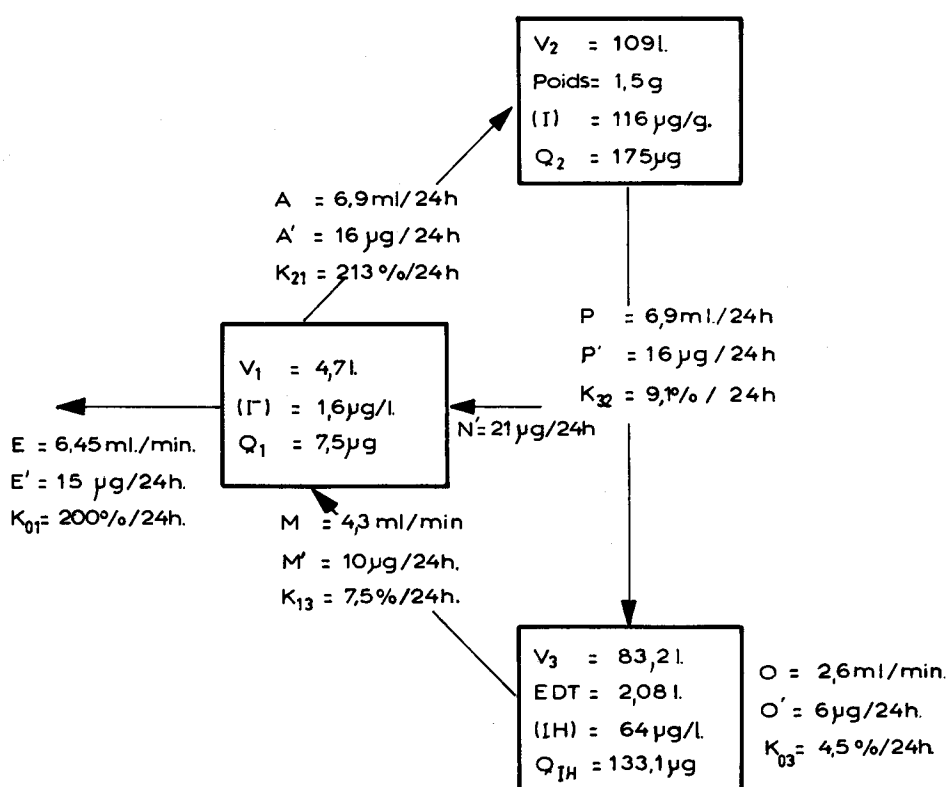


Figure 5. — Enfants de 6 mois à 1 an.  
Schéma donnant une représentation vraisemblable du cycle de l'iode.

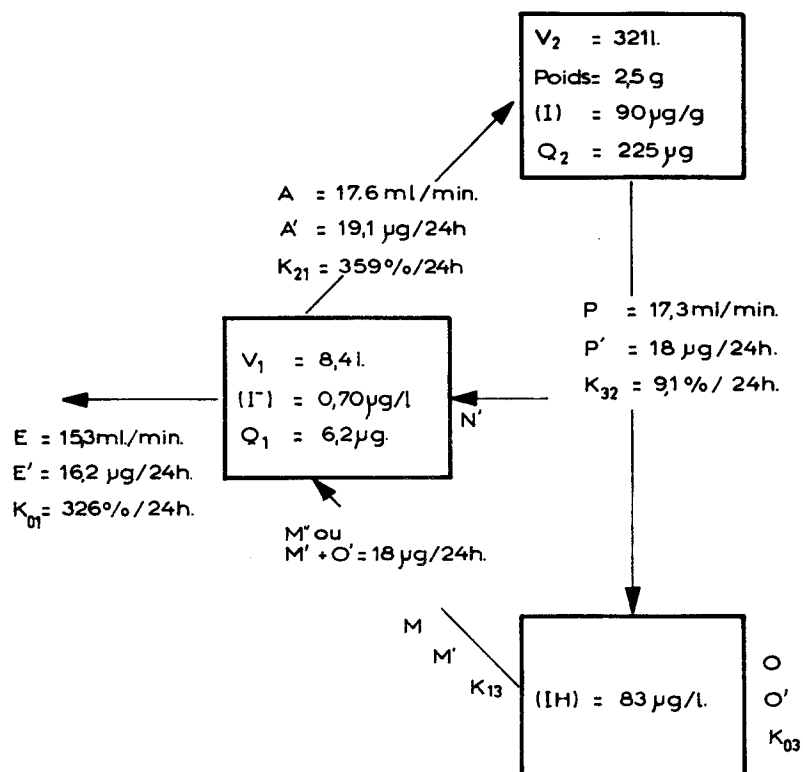


Figure 6. — Enfants de 1 à 2 ans.  
Schéma donnant les valeurs moyennes du cycle de l'iode.

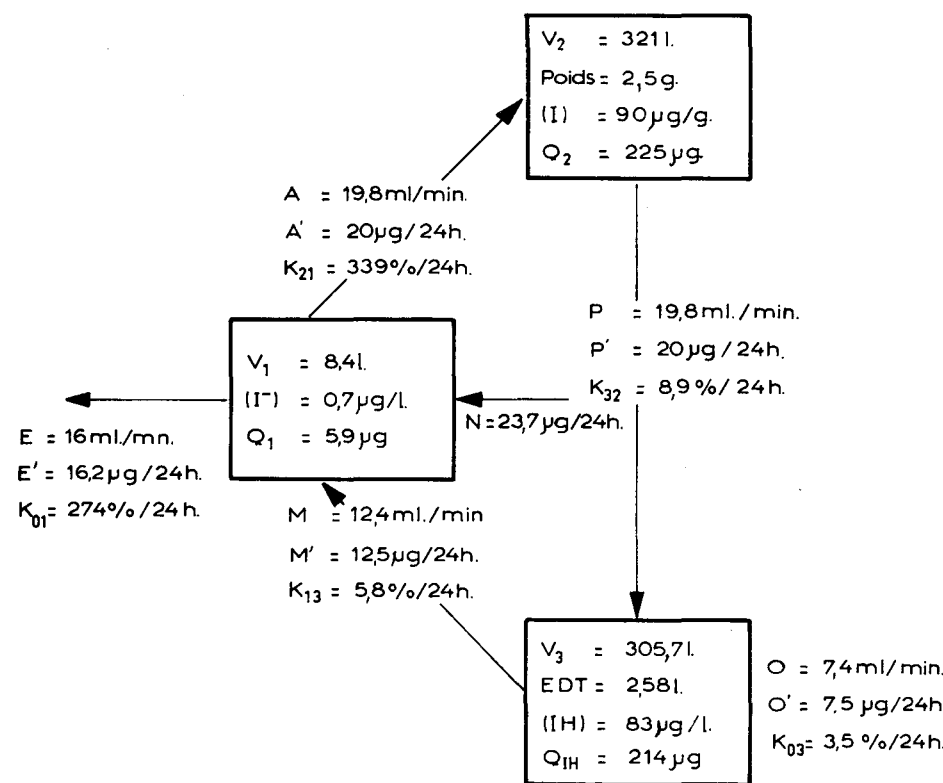


Figure 7. — Enfants de 1 à 2 ans.  
 Schéma donnant une représentation vraisemblable du cycle de l'iode.

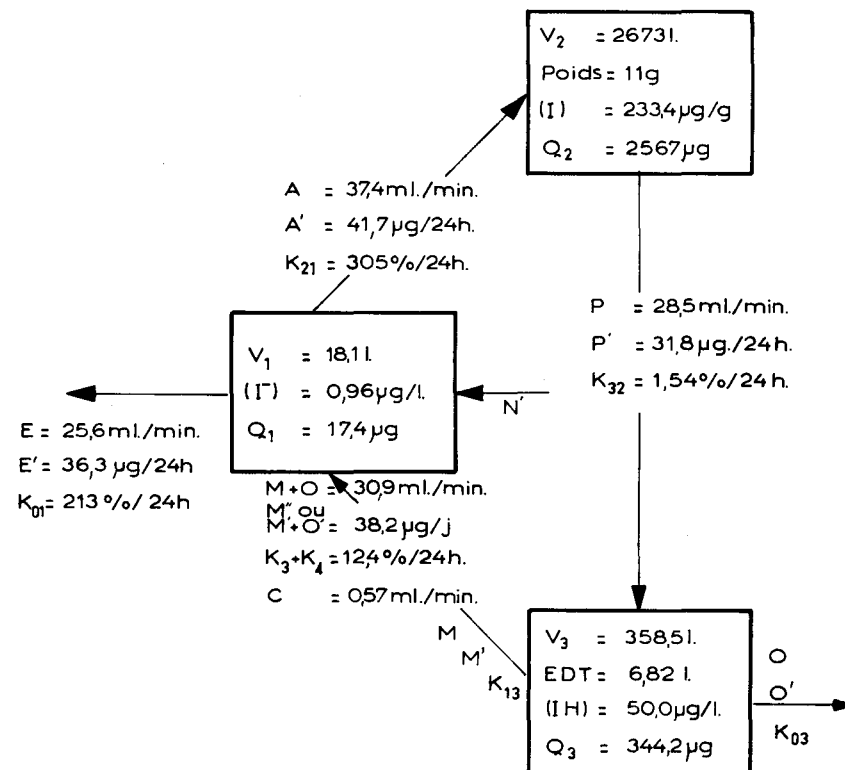


Figure 8. — Adolescents.  
 Schéma résumant les valeurs moyennes du cycle de l'iode.

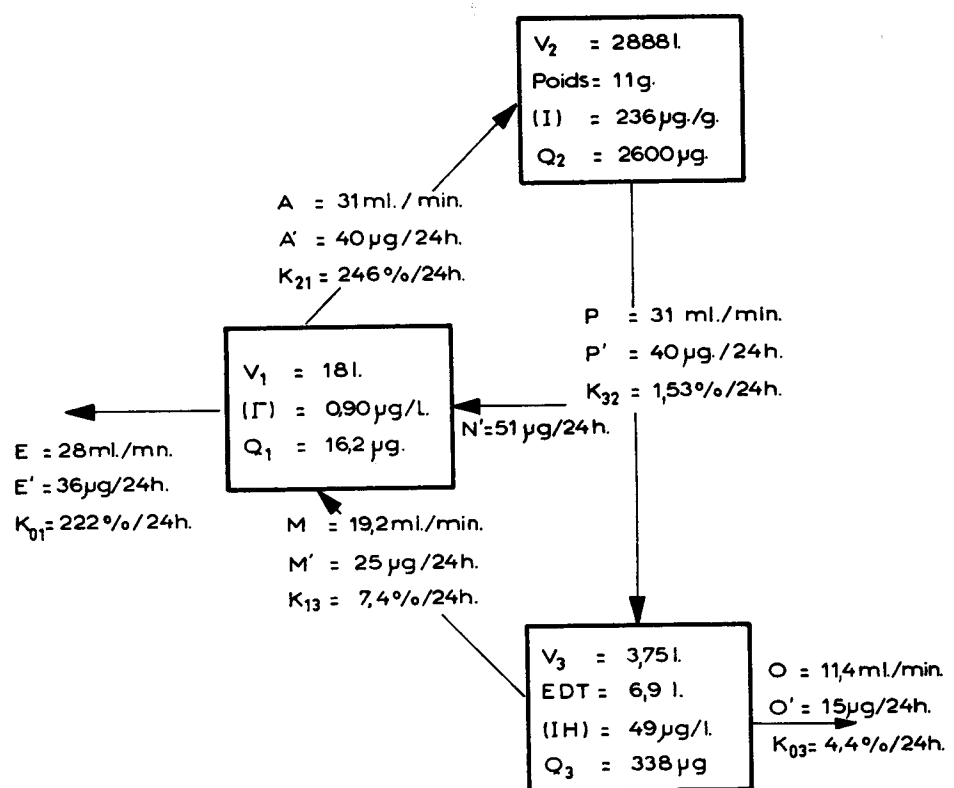


Figure 9. — Adolescents.  
Schéma donnant une représentation vraisemblable du cycle de l'iode,  
construction à partir des données expérimentales.

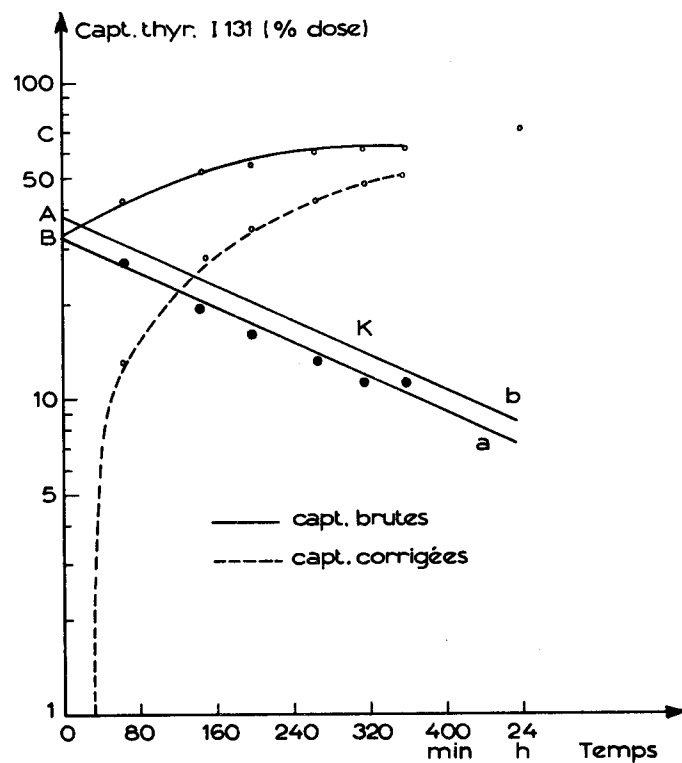


Figure 10. — Détermination du facteur de correction à appliquer aux mesures de captation précoce du fait de la radioactivité extrathyroïdienne (méthode de KUTKA).

OC = captation maximale théorique (UT 24 h).

BC = radioactivité cervicale extrathyroïdienne au temps zéro.

OA = extrapolation au temps O de la courbe de captation brute.

Théoriquement : OA = BC = VO (voir texte).

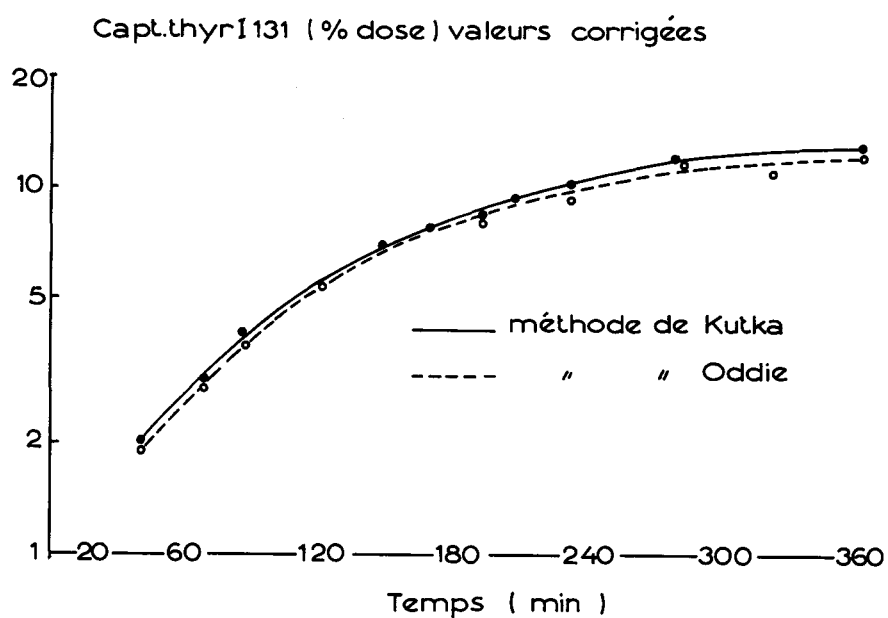


Figure 11. — Comparaison chez un même sujet des captations vraies obtenues selon les méthodes de Kutka et Oddie, modifiées.

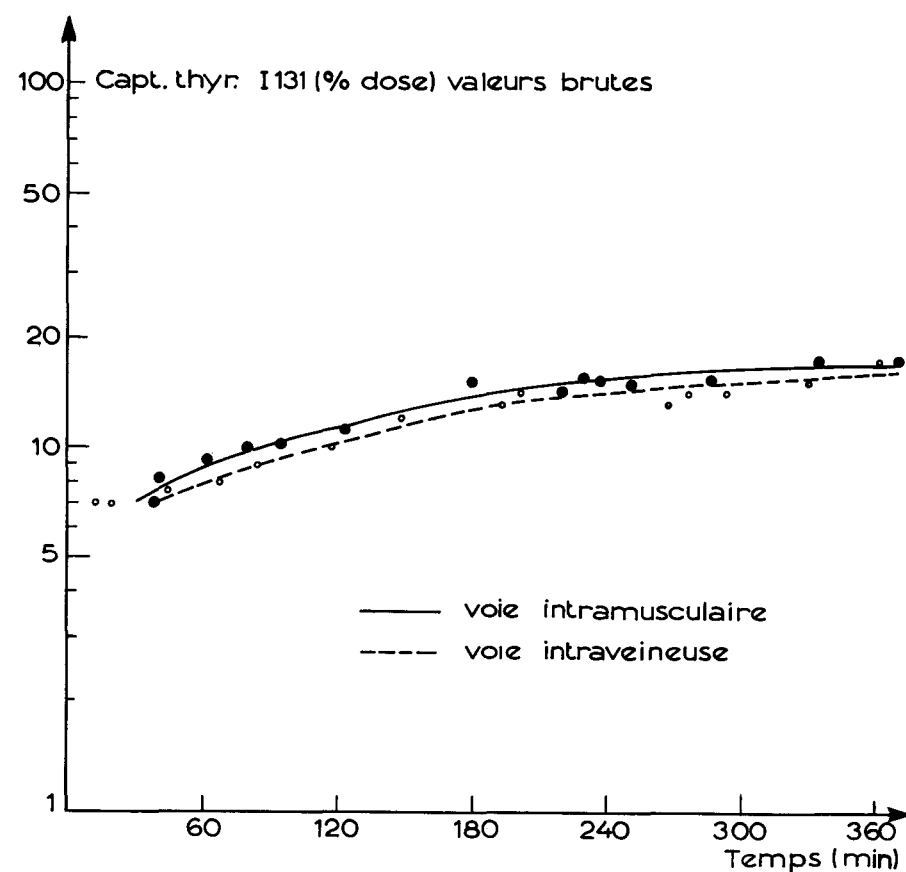


Figure 12. — Comparaison des modes d'administration du traceur.

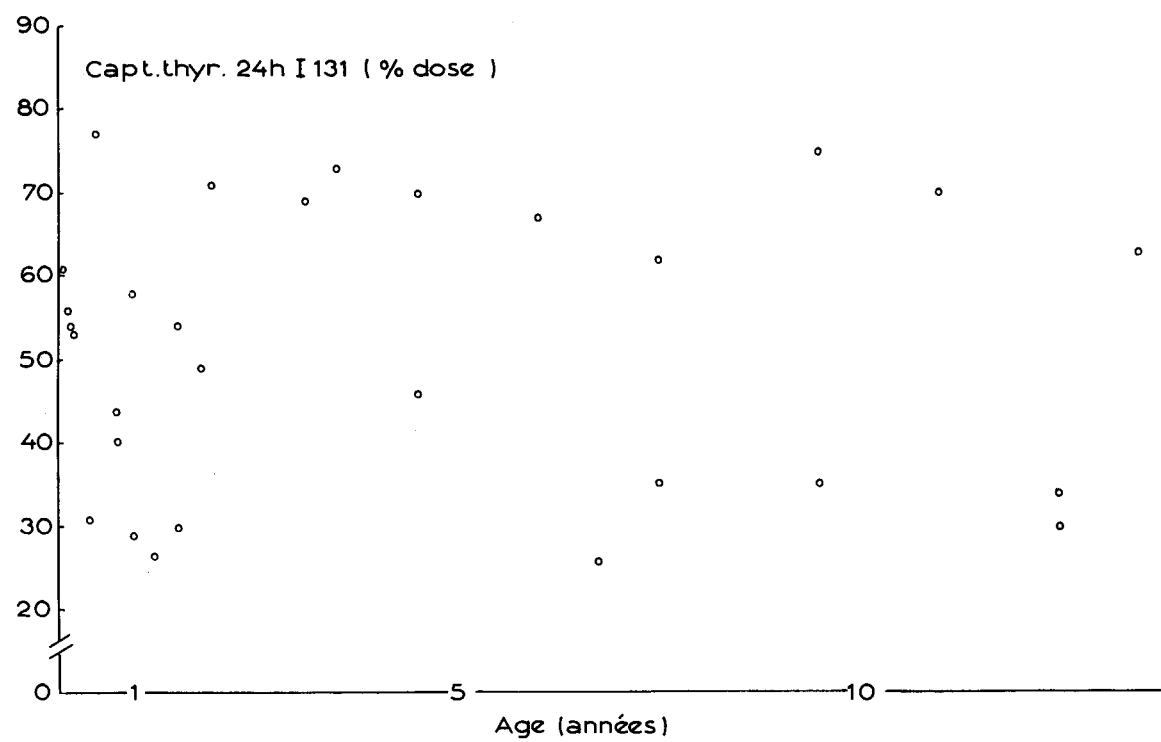


Figure 13. — Captations thyroïdiennes observées par âge.

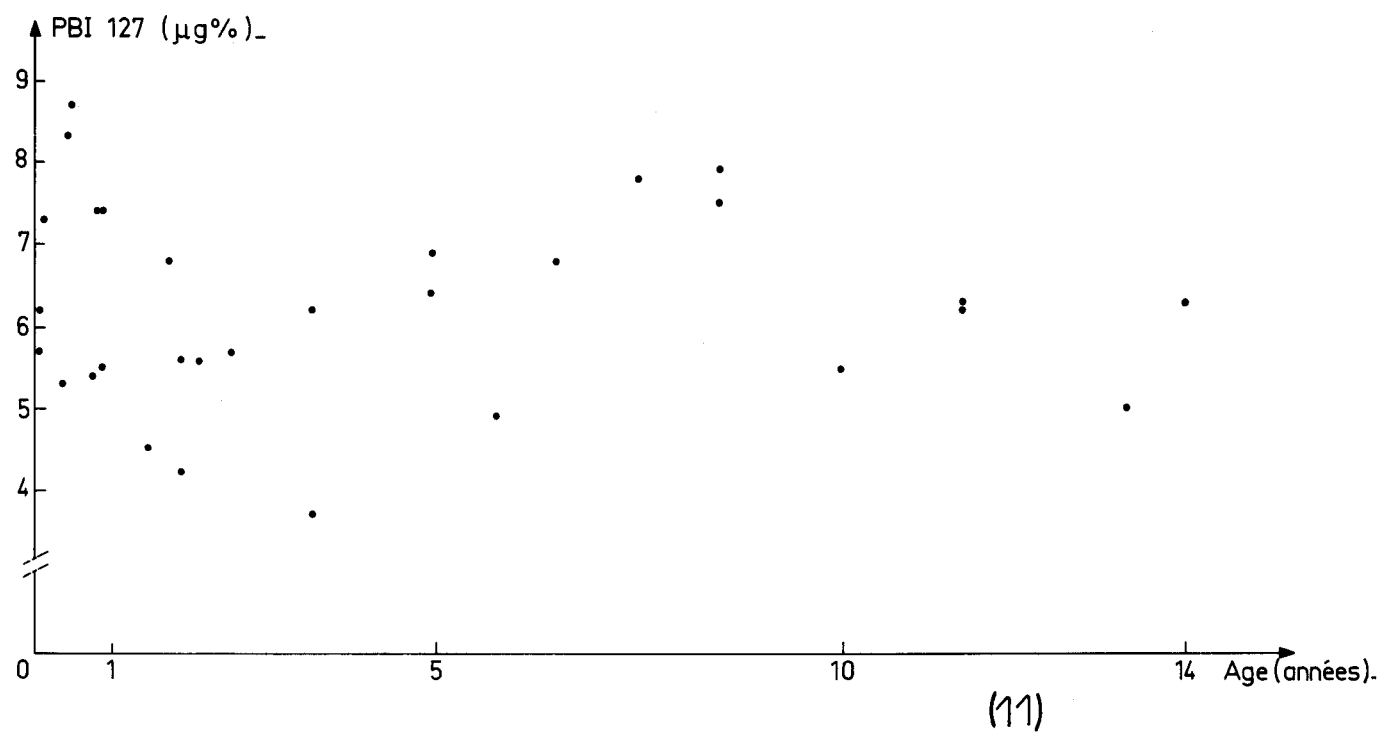


Figure 14. — Concentrations plasmatiques observées du PBI par âge (11).

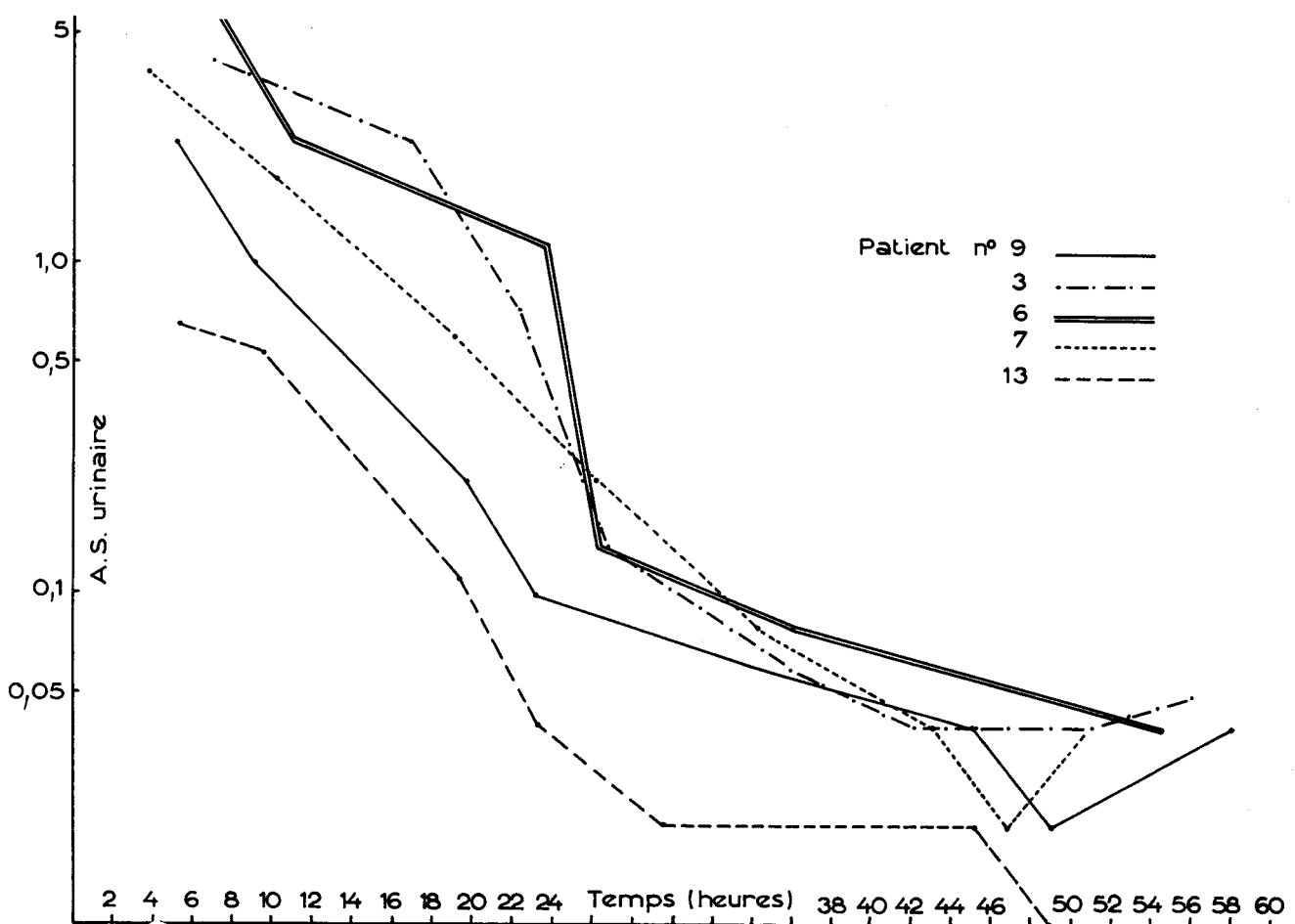


Figure 15. — Evolution au cours du temps de l'activité spécifique urinaire chez quelques sujets.

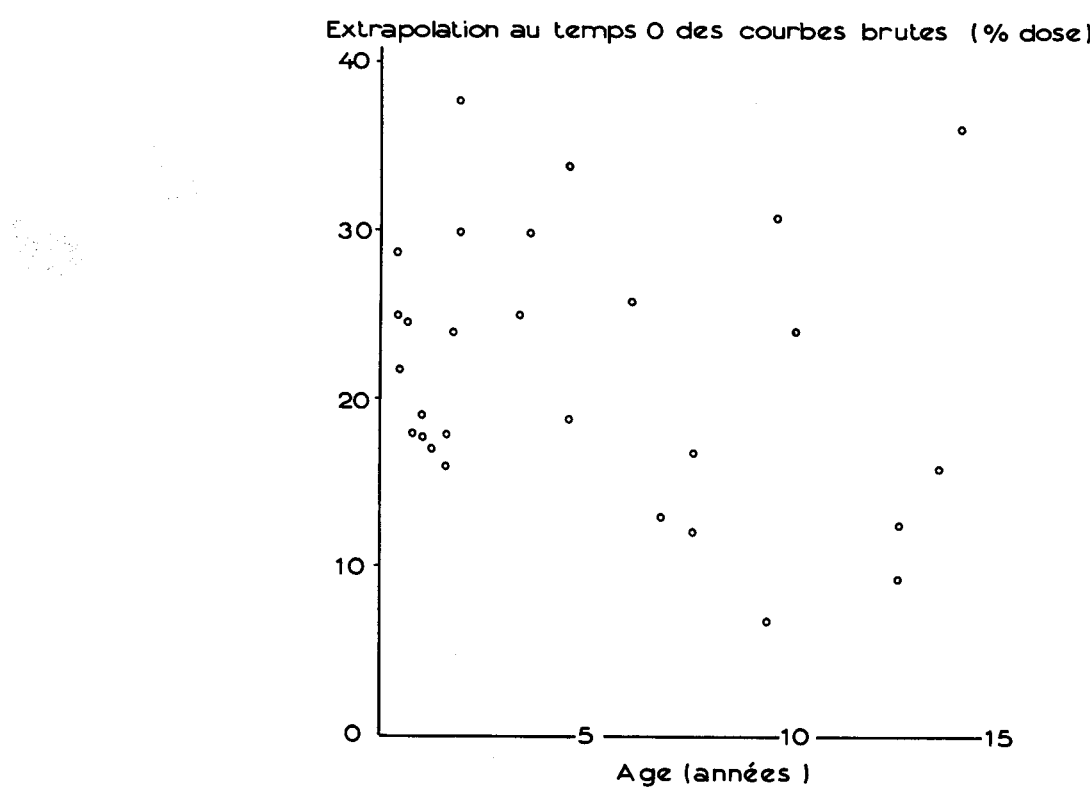


Figure 16. — Evolution des valeurs de radioactivité extrathyroïdienne du cou en fonction de l'âge.

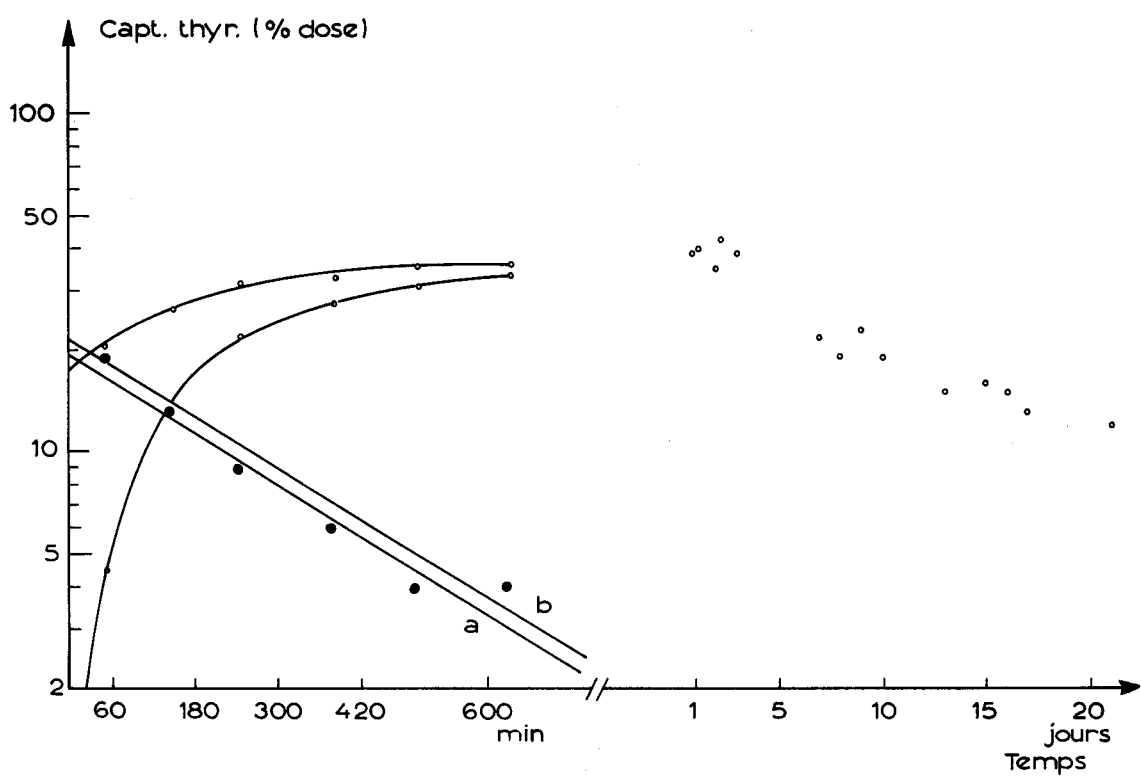


Figure 17. — Epreuve n° 27.

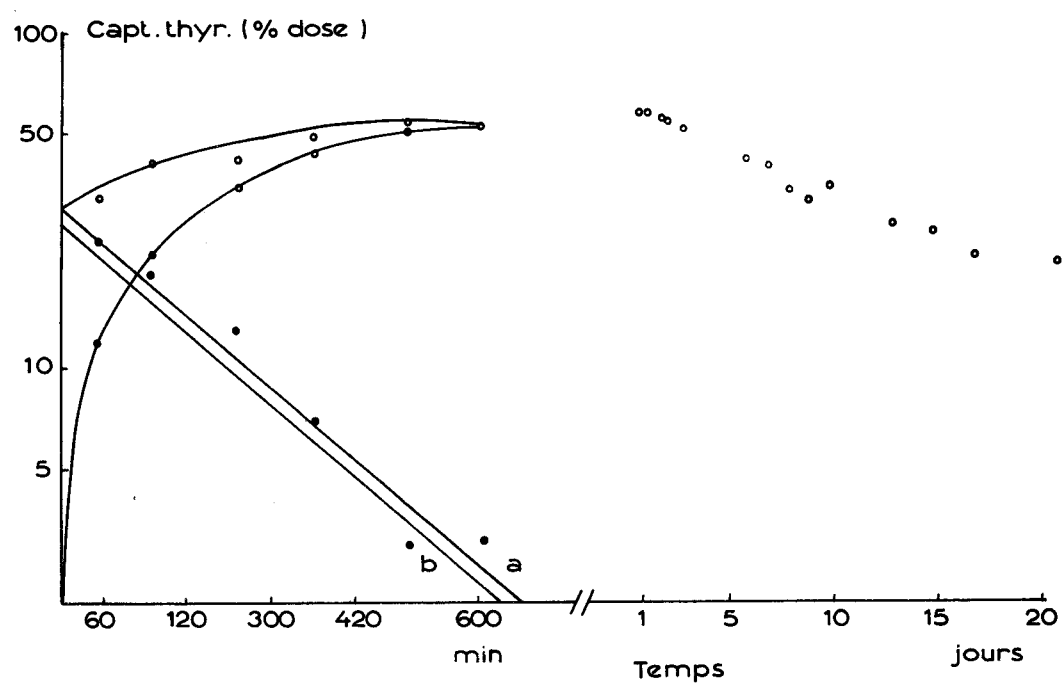


Figure 18. — Epreuve n° 24.

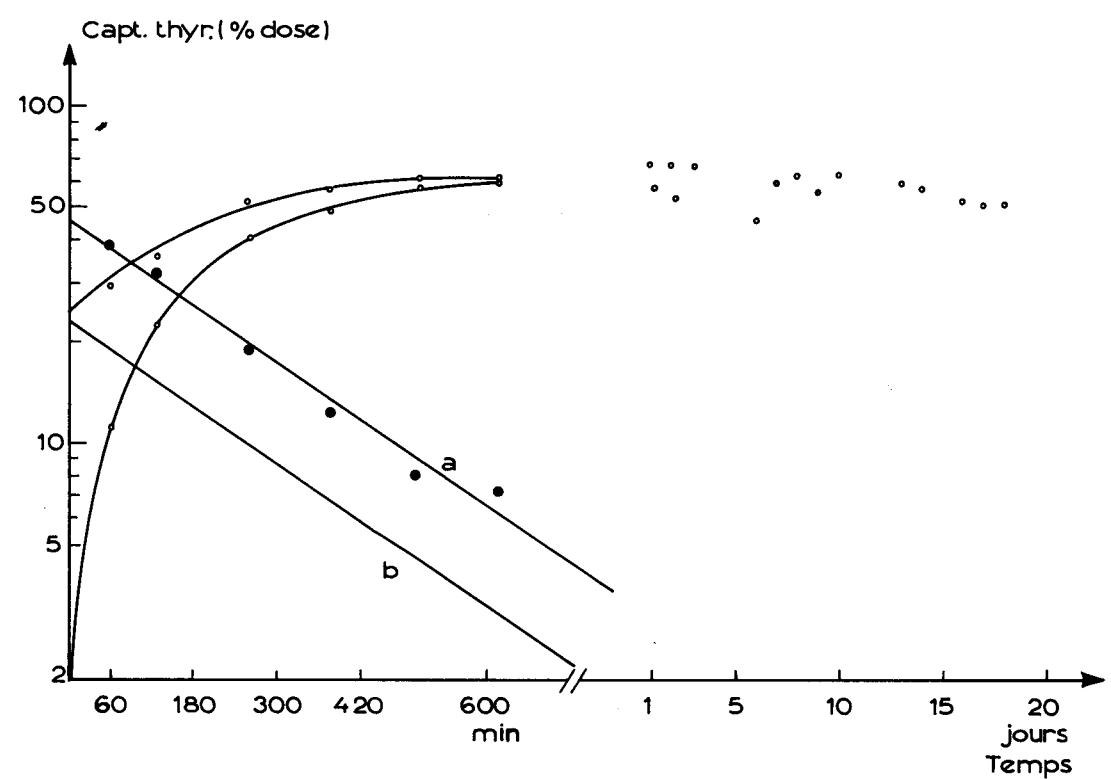


Figure 19. — Epreuve n° 23.

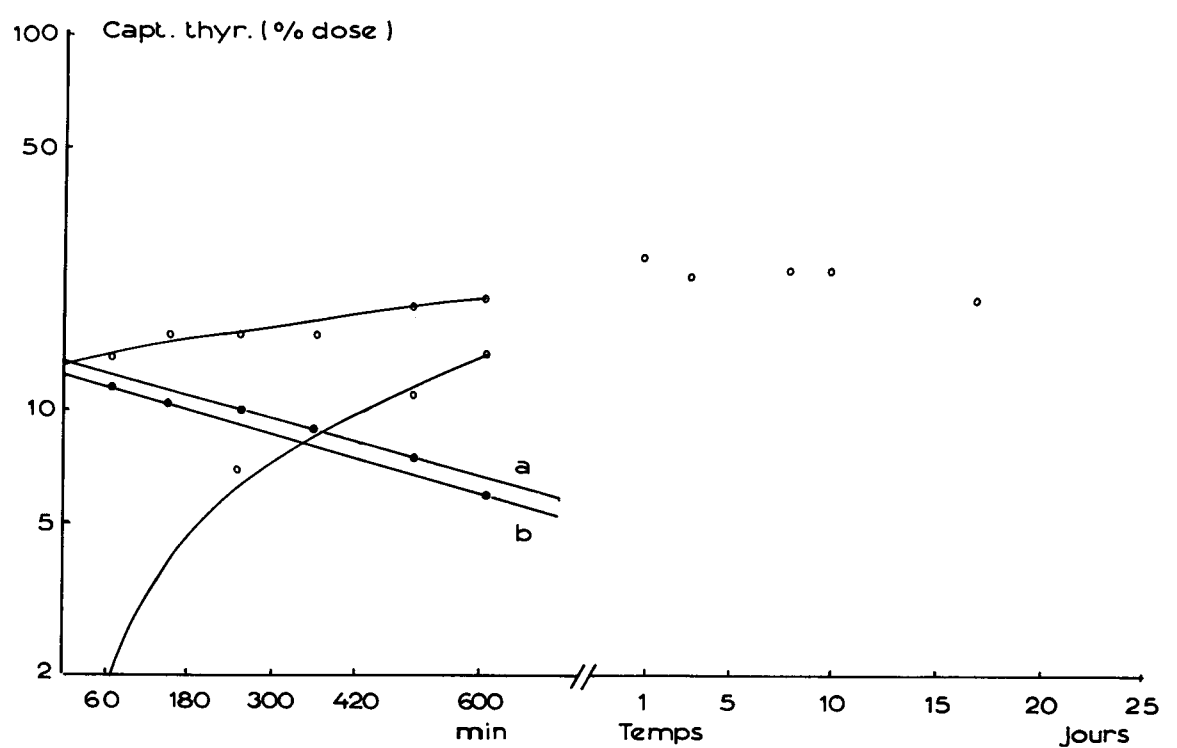


Figure 20. — Epreuve n° 22.

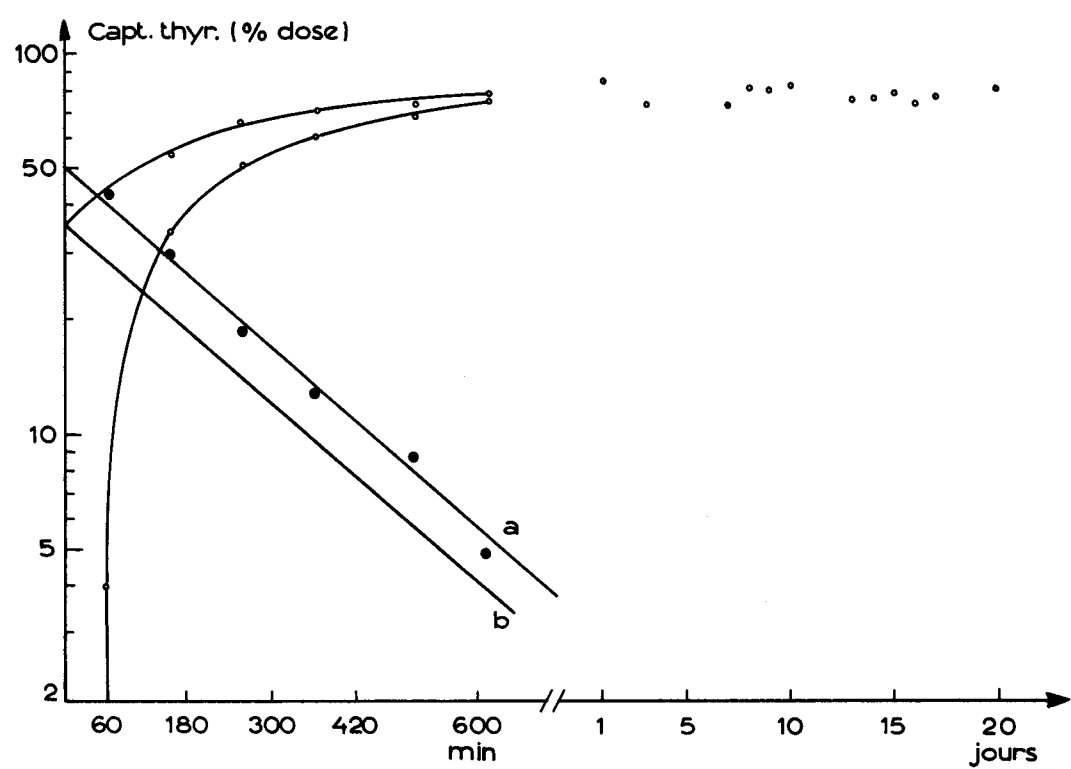


Figure 21. — Epreuve n° 21.

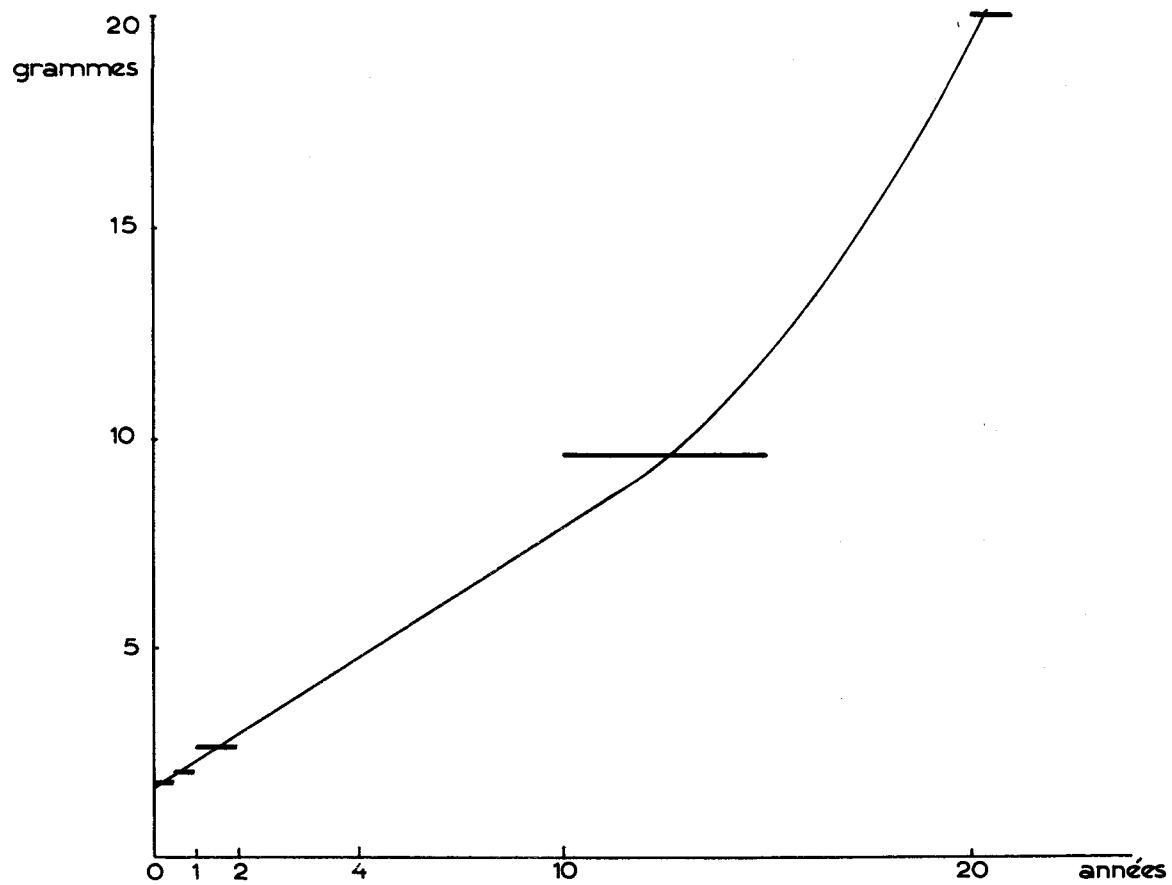


Figure 22. — Poids de la thyroïde en fonction de l'âge.

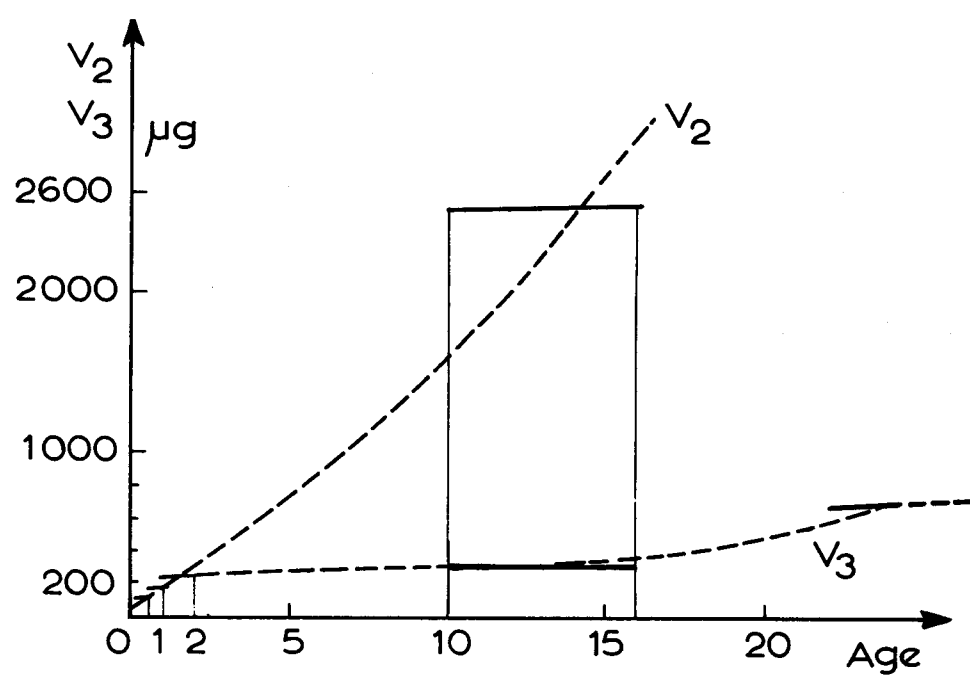


Figure 23. — Evolution de  $V$  (quantité d'iode stable en  $\mu\text{g}$ ) dans le compartiment thyroïdien ( $V_2$ ) et dans le compartiment hormonal ( $V_3$ ) en fonction de l'âge.

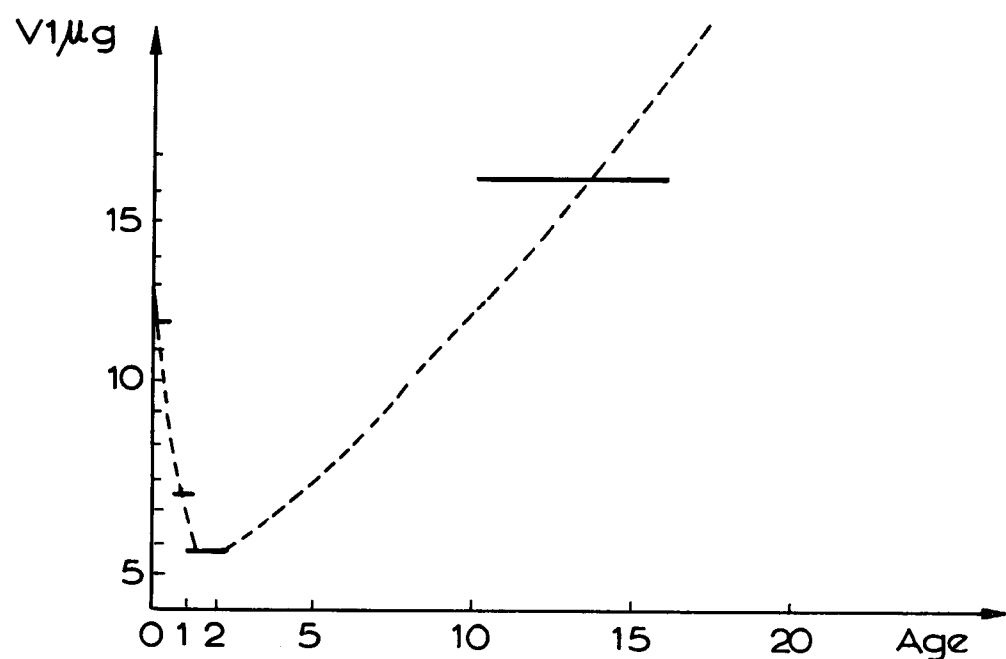


Figure 24. — Evolution en fonction de l'âge de la quantité d'iode stable du compartiment iode inorganique en  $\mu\text{g}$ .

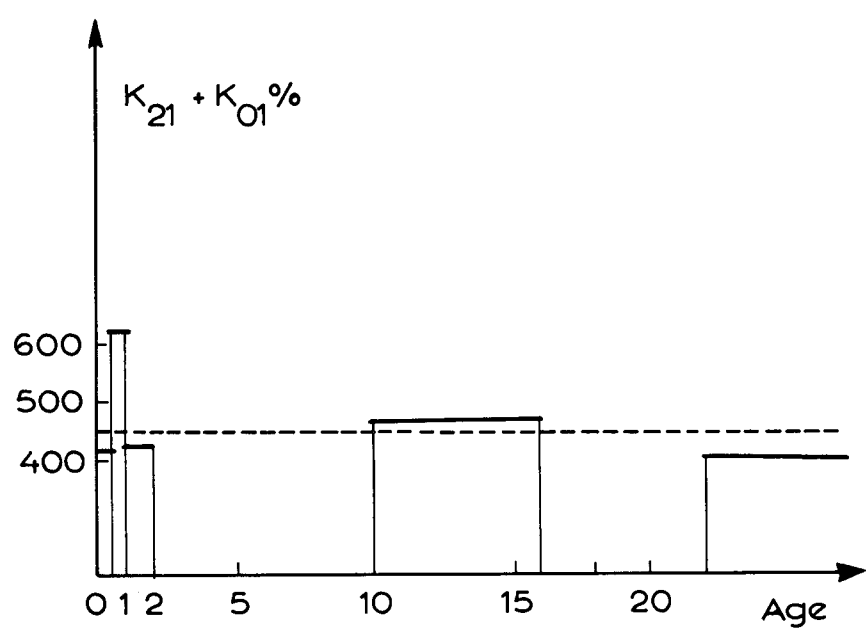


Figure 25. — Evolution en fonction de l'âge du coefficient de renouvellement du compartiment iodé inorganique.

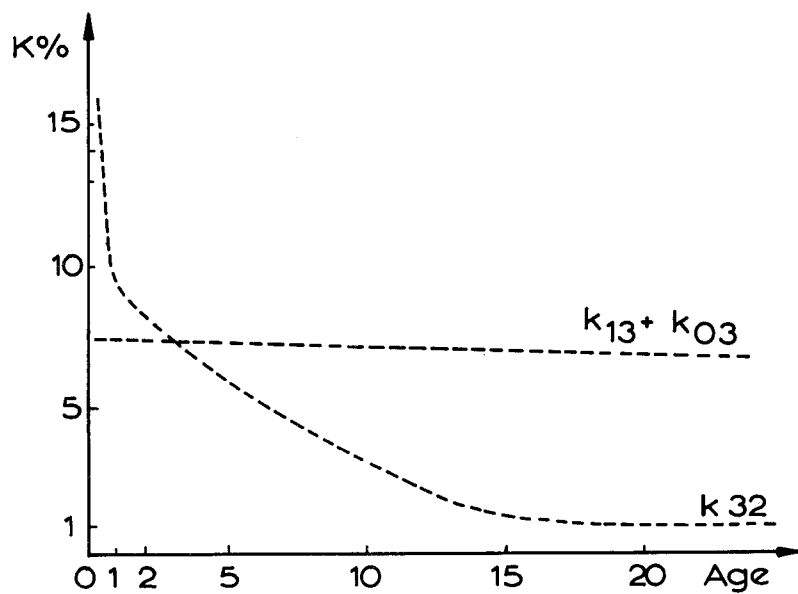


Figure 26. — Evolution en fonction de l'âge du coefficient de renouvellement du compartiment thyroïde ( $K_{32}$ ) et du compartiment hormonal.

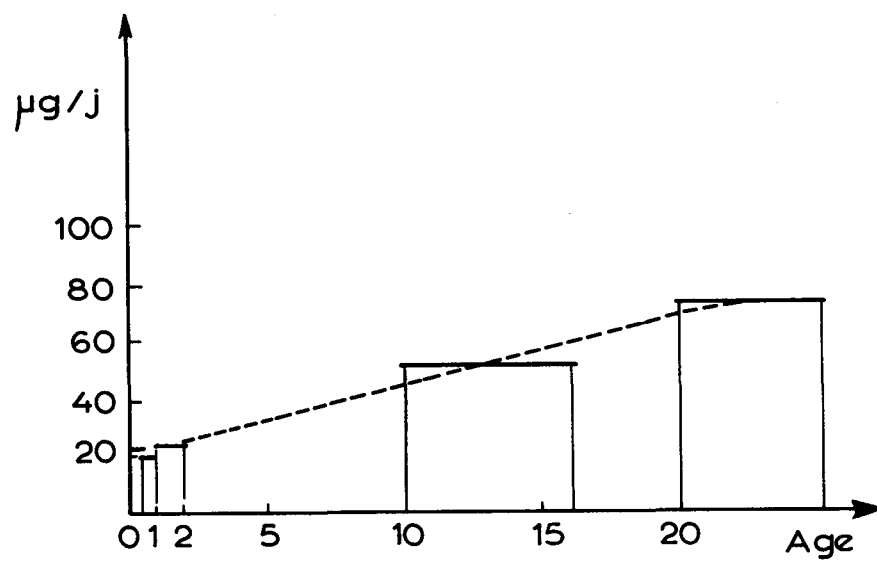


Figure 27. — Estimation des quantités d'iode stable ingérées.

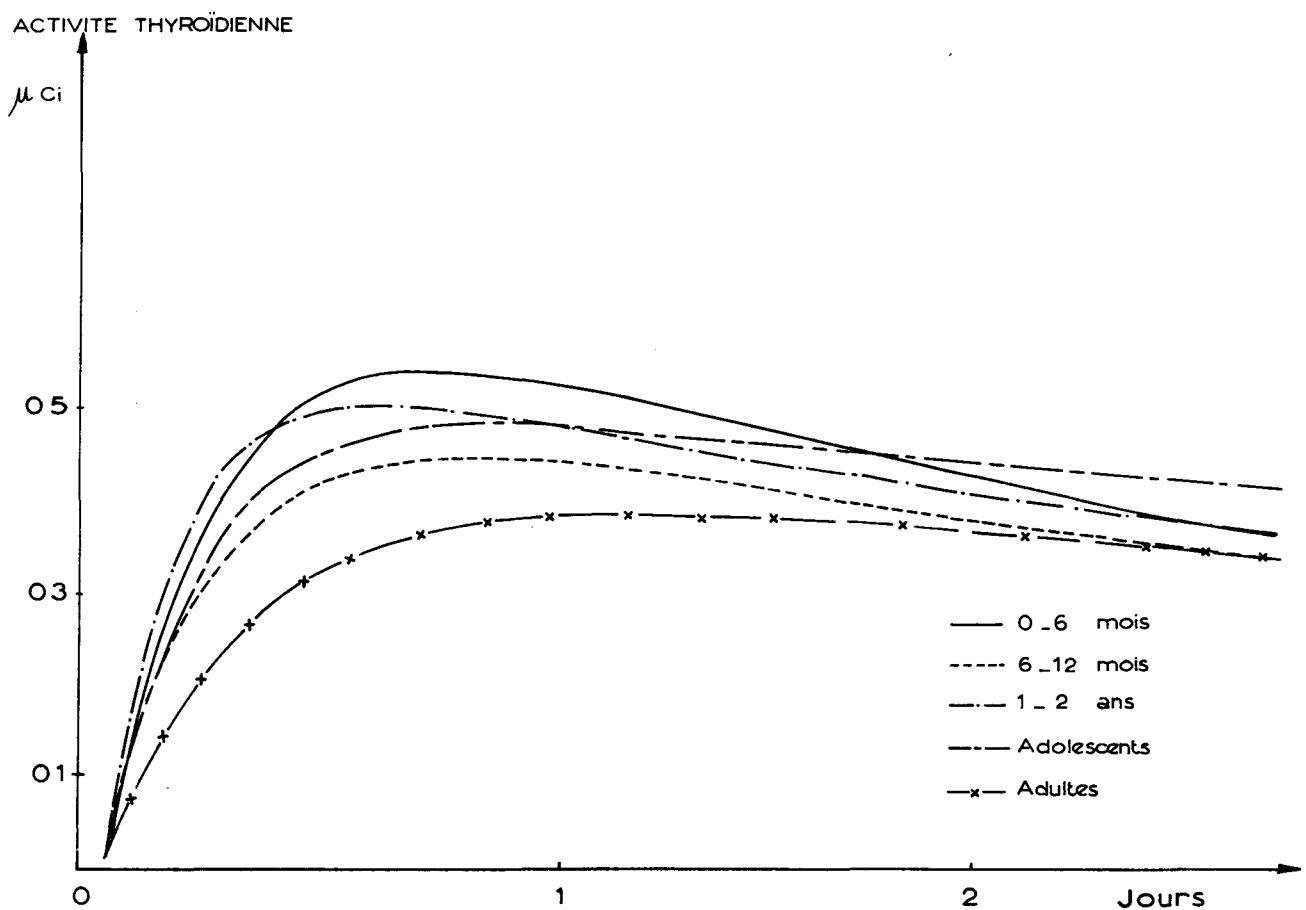


Figure 28. — Ingestion unique de  $1\mu\text{Ci}$ .

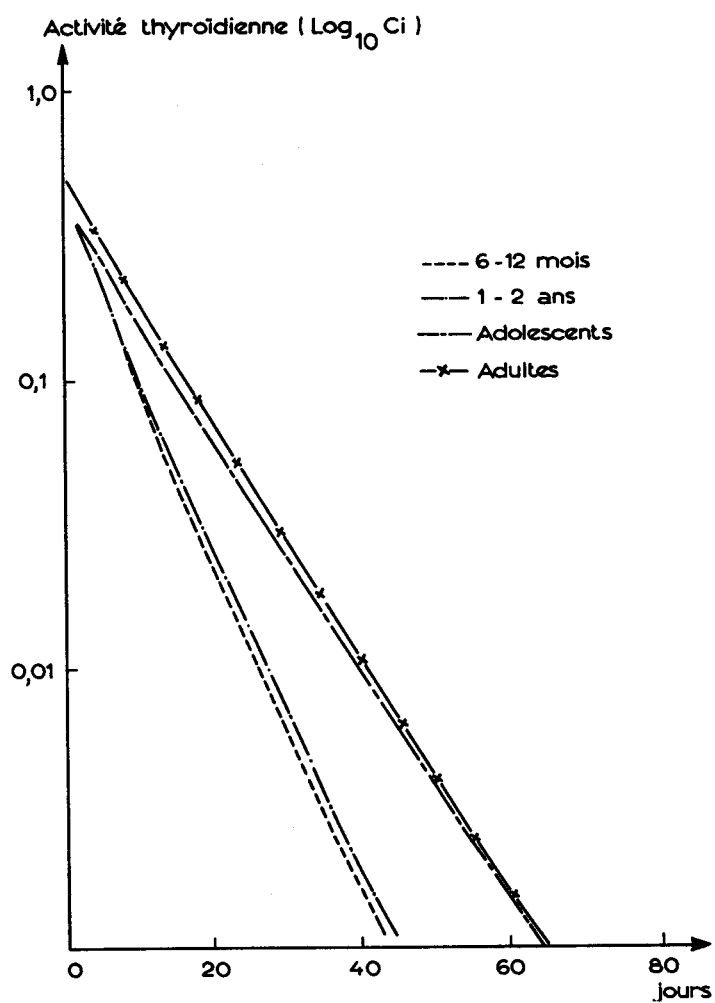


Figure 29. — Ingestion unique de  $1\mu\text{Ci}$ .

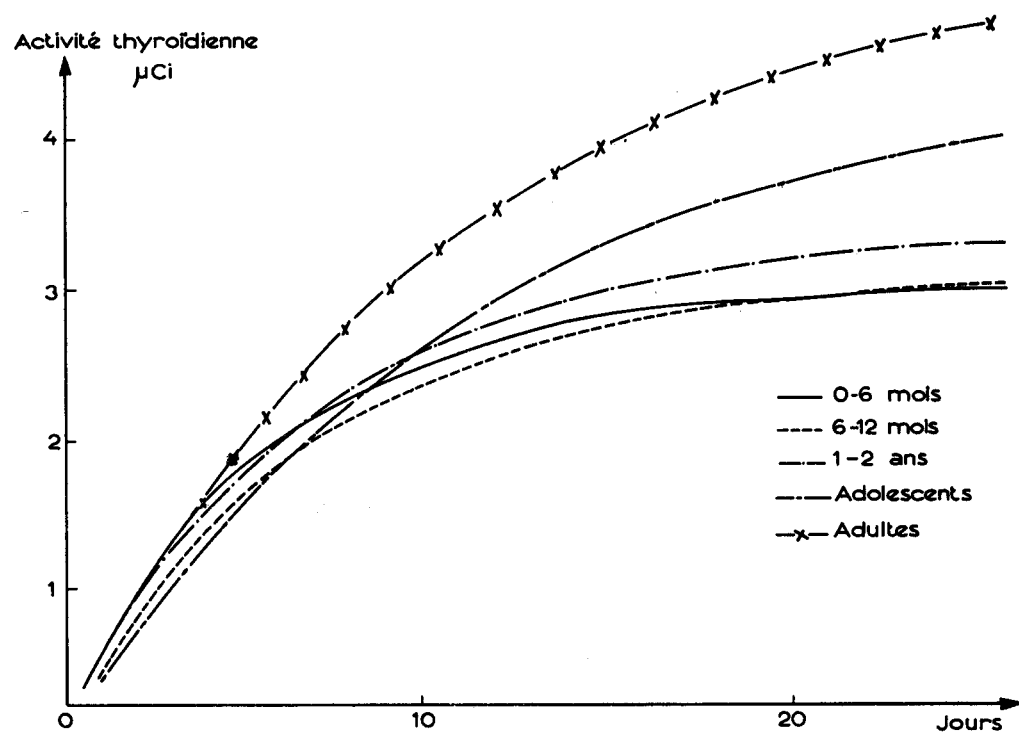


Figure 30. — Ingestion chronique de  $1\mu\text{Ci}/\text{j}$ .

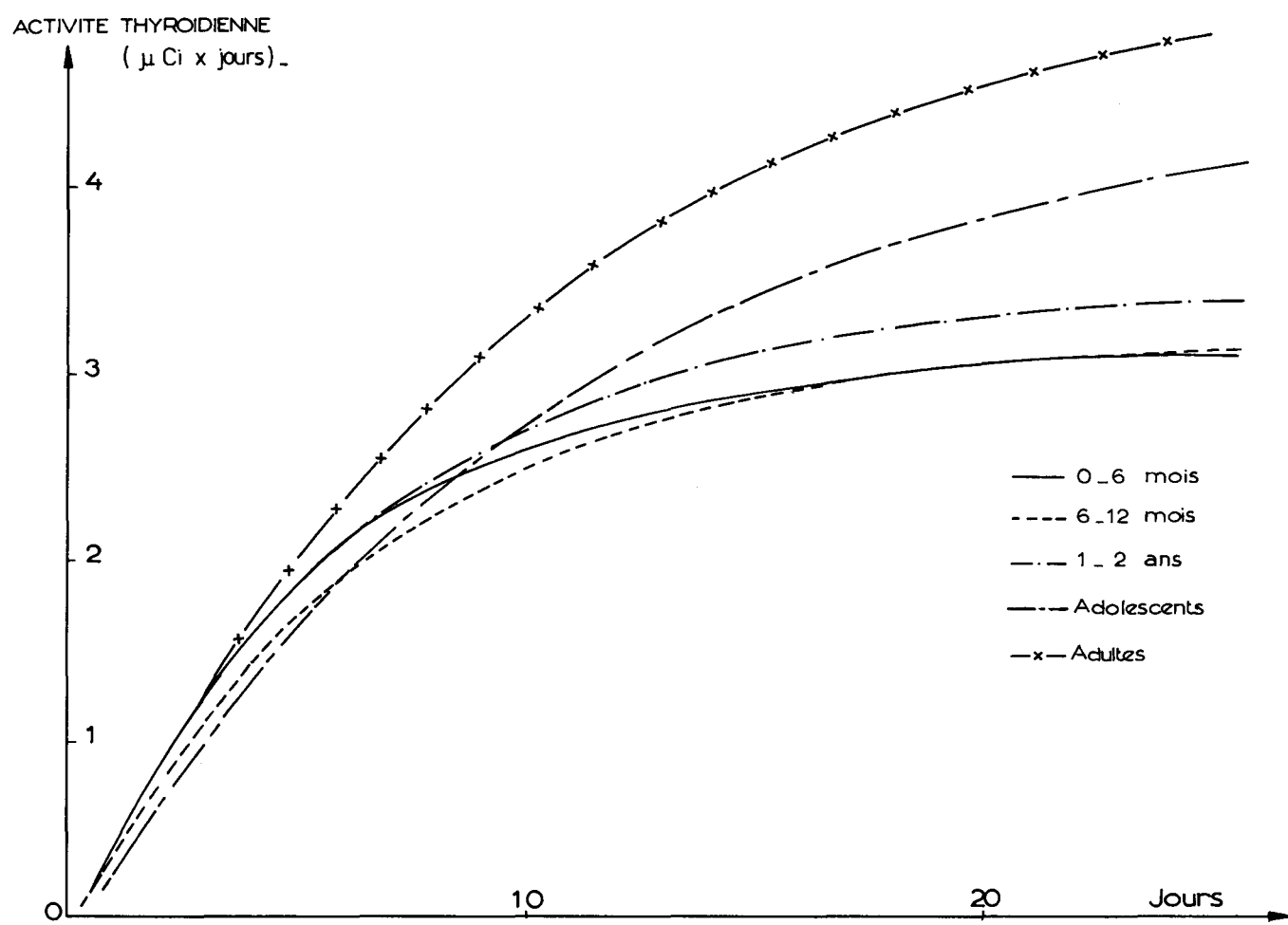


Figure 31. — Ingestion unique de  $I^{131}\text{Ci}$  :  $\mu\text{Ci}$  en résidence.

